



# БИООРГАНИЧЕСКАЯ ХИМИЯ

том 14 \* № 3 \* 1988

УДК 577.217.34

## АФФИННАЯ МОДИФИКАЦИЯ РИБОСОМ *ESCHERICHIA COLI* 2',3'-O-[4-(N-2-ХЛОРЭТИЛ)-N-МЕТИЛАМИНО]- БЕНЗИЛИДЕНОВЫМ ПРОИЗВОДНЫМ AUGU<sub>3</sub> В 70S КОМПЛЕКСАХ ИНИЦИАЦИИ

Веньяминова А. Г., Владимицов С. Н., Дрыгі С. А.,  
Зенкова М. А., Карпова Г. Г., Ямковой В. И.\*

Новосибирский институт биоорганической химии Сибирского отделения  
Академии наук СССР;

\*Новосибирский государственный университет им. Ленинского комсомола

Изучена аффинная модификация рибосом *Escherichia coli* 2',3'-O-[4-(N-2-хлорэтил)-N-метиламино]бензилиденовым производным AUGU<sub>3</sub> (AUGU<sub>3</sub>[<sup>14</sup>C]CHRCI) в 70S комплексах инициации рибосомы·AUGU<sub>3</sub>[<sup>14</sup>C]CHRCI·tMet-tRNK<sub>f</sub><sup>Met</sup> и в двойном комплексе рибосомы·AUGU<sub>3</sub>[<sup>14</sup>C]CHRCI. Показано, что направленность аффинной модификации рибосом в 70S комплексе инициации зависит от способа получения комплекса. Модификации AUGU<sub>3</sub>[<sup>14</sup>C]CHRCI в комплексе инициации, полученным в присутствии факторов инициации IF-1, IF-2, IF-3, подвергаются белки S5, S7, S9, L1 и L16, а в комплексе, полученном в отсутствие IF-3 и IF-1 (только с помощью фактора IF-2), — белки S5 и S7. В комплексе инициации, полученным неэнзиматически, модифицируются белки S1, S3, L1 и L33; модификации в двойном комплексе подвергается единственный белок S1. Во всех состояниях, где использовались факторы инициации, наблюдалась модификация фактора IF-2.

Систематическое исследование мРНК-связывающего центра рибосом *Escherichia coli* ранее было проведено с помощью алкилирующих производных олигоуридинатов разной длины, содержащих (N-2-хлорэтил-N-метиламино)-фенильный остаток на 3'- или 5'-конце олигонуклеотидного фрагмента [1—3]. Набор модифицируемых белков зависел от точки присоединения реакционноспособной группы к олигонуклеотидному фрагменту. Вырисовывались группы белков, характерные именно для данного типа аффинной модификации. Однако обращал на себя внимание широкий спектр рибосомных белков, подвергающихся модификации каждым из реагентов, и наличие ряда точек модификаций, которые появлялись в отдельных экспериментах и исчезали при удлинении или укорочении олигонуклеотидного «адреса» на одно звено. Множественная модификация, наблюдаемая во всех случаях, а также зависимость наборов модифицируемых белков от длины олигонуклеотидного фрагмента не позволяли отнести какие-либо определенные белки к мРНК-связывающему центру рибосом. Следует заметить, что в работах [1, 2] использовался 2—3-кратный избыток дезацилированной тРНК по отношению к рибосомам для насыщения Р- и А-участков, однако, как теперь установлено в экспериментах с тетрациклином, блокирующим связывание тРНК с А-участком рибосомы [4], кодон-антикодоновое взаимодействие имело место в основном в Р-участке. При отсутствии кодон-антикодонового взаимодействия в А-участке остаток олигоуридината мог «скользить» в участке декодирования, давая таким образом гетерогенную смесь комплексов, различающихся расположением олигонуклеотидного фрагмента относительно антисенсора тРНК и реакционноспособной группы относительно участка декодирования. Следовательно, неоднозначная посадка аналога мРНК в участке декодирования могла быть одной из причин множественной модификации рибосом в области мРНК-связывающего центра.

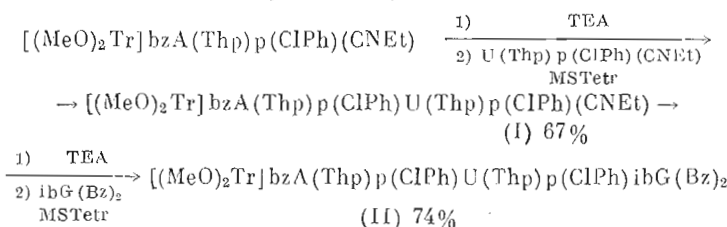
Принятые сокращения: ClPh — *n*-хлорфенил, TEA — N(C<sub>2</sub>H<sub>5</sub>)<sub>3</sub>, MSTetr — метиленсульфотетразолид, ib — изобутирил. Остальные сокращения соответствуют общепринятым.

Однозначную посадку короткой матрицы в участке декодирования можно реализовать, используя в качестве матриц олиго рибонуклеотиды, несущие на 5'-конце инициирующий кодон [5]. С помощью 2',3'-O-[4-(N-2-хлорэтил)-N-метиламино]бензилиденового производного AUGU<sub>6</sub>- (AUGU<sub>6</sub>CHRCI) была проведена аффинная модификация рибосом в 70S комплексе инициации, полученным с помощью факторов инициации [6]. Однако, несмотря на то что в отличие от производных олигоуридилатов AUGU<sub>6</sub>CHRCI был однозначно закреплен на рибосоме за счет взаимодействия инициирующего кодона с fMet-tRN<sub>f</sub><sup>Met</sup>, набор белков, подвергающихся модификации в 70S комплексе инициации, был довольно велик. Вероятно, это было вызвано тем, что химически активная группа не была зафиксирована жестко относительно рибосомы из-за достаточно большого размера свободной части реагента (фрагмента U<sub>6</sub>CHRCI), не закрепленного на рибосоме кодон-антикодоновым взаимодействием.

В настоящей работе изучена аффинная модификация рибосом *Escherichia coli* 2',3'-O-[4-(N-2-хлорэтил)-N-метиламино]бензилиденовым производным AUGU<sub>3</sub>(AUGU<sub>3</sub>[<sup>14</sup>C]CHRCI) в составе 70S комплексов инициации, полученных различными способами.

### 1. Получение AUGU<sub>3</sub> и AUGU<sub>3</sub>[<sup>14</sup>C]CHRCI

Аденилилуридилгуанозин (AUG) синтезировали модифицированным фосфотриэфирным методом [7] по следующей схеме:



Необходимые для этого синтеза защищенные нуклеозиды и их фосфотриэфиры были получены стандартными методами. Выделение AUG (выход 50%) и его анализ проводили как описано в работе [5].

Гексапуклеозидпентаfosфат AUGU<sub>3</sub> получали из AUG и (pU)<sub>3</sub> с помощью РНК-лигазы [8] с выходом 20%. Синтез, выделение и доказательство его строения проводили аналогично описанному ранее для AUGU<sub>6</sub> [9].

Бензилиденовое производное AUGU<sub>3</sub>[<sup>14</sup>C]CHRCI было получено из AUGU<sub>3</sub> и 4-(N-2-хлорэтил-N-метиламино)[<sup>14</sup>C]бензальдегида в присутствии 2,2-диметоксипропана и трифторуксусной кислоты, как описано в работе [10].

### 2. Связывание AUGU<sub>3</sub>, AUGU<sub>3</sub>[<sup>14</sup>C]CHRCI и fMet-tRN<sub>f</sub><sup>Met</sup> с рибосомами

Аффинную модификацию рибосом AUGU<sub>3</sub>[<sup>14</sup>C]CHRCI изучали в составе комплексов, приведенных в табл. 1. Для определения степени связывания f[<sup>35</sup>S]Met-tRN<sub>f</sub><sup>Met</sup> с рибосомами в комплексах (I) и (II) использовали свободный олигонуклеотид AUGU<sub>3</sub>, поскольку на примере комплекса (III) было показано, что бензилиденовый фрагмент не влияет на матричные свойства AUGU<sub>3</sub> на стадии инициации. Это хорошо согласуется с данными работы [5], где было показано, что AUGU<sub>6</sub>CHRCI стимулирует связывание f[<sup>35</sup>S]Met-tRN<sub>f</sub><sup>Met</sup> в комплекс инициации в такой же степени, как и AUGU<sub>6</sub>. Данные по связыванию f[<sup>35</sup>S]Met-tRN<sub>f</sub><sup>Met</sup> приведены в табл. 1. Степени связывания f[<sup>35</sup>S]Met-tRN<sub>f</sub><sup>Met</sup> с рибосомами в условиях, аналогичных условиям образования комплексов (I)–(III), но в отсутствие матрицы, не превышали 0,1 моль/моль 70S рибосом. Факторы инициации значительно стимулировали связывание f[<sup>35</sup>S]Met-tRN<sub>f</sub><sup>Met</sup> с рибосомами в комплексы (I) и (III) (степень неэнзиматического связывания f[<sup>35</sup>S]Met-tRN<sub>f</sub><sup>Met</sup> с рибосомами в буфере с 5 mM Mg<sup>2+</sup> составляла не бо-

Таблица I

**Исследуемые комплексы и связывание fMet-tРНК<sup>Met</sup><sub>f</sub> с рибосомой  
в составе соответствующих комплексов**

Комплекс	Компоненты	Степень связывания f[ <sup>35</sup> S]Met-tРНК <sup>Met</sup> <sub>f</sub> с рибосомой (моль f Met-tРНК <sup>Met</sup> <sub>f</sub> / моль рибосом)
(I)	70S, fMet-tРНК <sup>Met</sup> <sub>f</sub> , AUGU <sub>3</sub> CHRCI IF-1, IF-2, IF-3 (5 mM Mg <sup>2+</sup> )	0,45 *
(II)	70S, fMet-tРНК <sup>Met</sup> <sub>f</sub> , AUGU <sub>3</sub> CHRCI (10 mM Mg <sup>2+</sup> )	0,38 *
(III)	70S, fMet-tРНК <sup>Met</sup> <sub>f</sub> , AUGU <sub>3</sub> CHRCI, IF-2 (5 mM Mg <sup>2+</sup> )	0,41 * (0,40 **)
(IV)	70S, AUGU <sub>3</sub> CHRCI (10 mM Mg <sup>2+</sup> )	

\* Определено с использованием AUGU<sub>3</sub>.

\*\* Определено с использованием AUGU<sub>3</sub>CHRCI.

лее 0,05 моль/моль 70S рибосом). С другой стороны, уровень неэнзиматического связывания f[<sup>35</sup>S]Met-tРНК<sup>Met</sup><sub>f</sub> с рибосомами в комплексе (II) в буфере с 10 mM Mg<sup>2+</sup> практически совпадает с уровнем связывания в присутствии факторов инициации в буфере с 5 mM Mg<sup>2+</sup>. На основании данных, изложенных выше, можно заключить, что как энзиматическое, так и неэнзиматическое AUGU<sub>3</sub>CHRCI-направляемое связывание fMet-tРНК<sup>Met</sup><sub>f</sub> в комплексе инициации специфично. Поскольку степень связывания AUGU<sub>3</sub>[<sup>14</sup>C]CHRCI в этих комплексах примерно в 1,5 раза превышала степень связывания fMet-tРНК<sup>Met</sup><sub>f</sub>, в отдельном эксперименте исследовали аффинную модификацию рибосом в составе двойного комплекса 70S · AUGU<sub>3</sub>[<sup>14</sup>C]CHRCI (комплекс (IV)).

### 3. Аффинная модификация рибосом в составе комплексов (I)–(IV)

Модификацию рибосом в составе комплексов (I)–(III) проводили после отделения соответствующих комплексов от избытка несвязавшегося AUGU<sub>3</sub>[<sup>14</sup>C]CHRCI гель-фильтрацией. Поскольку двойной комплекс при гель-фильтрации диссоциирует, алкилирование в составе комплекса (IV) вели без предварительного выделения. Как было показано в работе [11], наличие свободного реагента не должно приводить к значительной неспецифической модификации рибосом, так как эффективность алкилирования подобными реагентами вне комплекса по сравнению с реакцией в комплексе низка.

Для аффинной модификации рибосомы комплексы (I)–(IV) инкубировали при 37° С в течение 2 ч (за это время ~ 55 % реагента превращалось в активную промежуточную частицу — этилениммониевый катион [12]). После модификации комплексы подвергали центрифугированию в линейном градиенте концентрации сахарозы (10–30 %) в условиях диссоциации рибосом на субчастицы. При этом не связавшееся ковалентно с рибосомами бензилиденовое производное AUGU<sub>3</sub> полностью отделялось от субчастиц. Для того чтобы проанализировать распределение радиоактивной метки между рРНК и белками, модифицированные субчастицы центрифугировали в линейном градиенте концентрации сахарозы (5–20 %).

Таблица 2

Степень модификации рибосомных субчастиц AUGU<sub>3</sub>[<sup>14</sup>C]CHRCI в составе комплексов (I) – (IV) и распределение радиоактивной метки между рРНК и белками

Комплекс	Субчастица	Степень модификации (моль реагента/моль субчастиц)	Распределение <sup>14</sup> C-метки между рРНК и белками, %	
			рРНК	белки *
(I)	30S	0,08	58	42
	50S (30S+50S)	0,04		
(II)	30S	0,04	74	26
	50S (30S+50S)	0,02		
(III)	30S	0,06	0	100
	50S	0,04		
(IV)	30S	0,03	19	81
	50S	0,02		

\* В составе 50S субчастиц белки и/или 5S рРНК.

в условиях диссоциации субчастиц на компоненты (в присутствии EDTA и додецилсульфата натрия). Степени модификации рибосомных субчастиц, а также данные по распределению радиоактивной метки между рРНК и белками приведены в табл. 2, из которой видно, что модификации AUGU<sub>3</sub>CHRCI в комплексах (I)–(IV) подвергаются обе рибосомные субчастицы, причем степень модификации 30S субчастиц в 1,5–2 раза превышает степень модификации 50S субчастиц. Степень модификации субчастиц, алкилированных в составе комплексов (I) и (III), в 1,5–2 раза превышает степень модификации субчастиц в составе комплекса (II). Распределение метки <sup>14</sup>C между рРНК и белками, как видно из табл. 2, зависит от способа получения комплекса.

#### 4. Анализ рибосомных белков, модифицированных аффинным реагентом

Для идентификации модифицированных белков их экстрагировали из рибосом 67% уксусной кислотой, выдерживали 1 ч при 37° С для гидролиза бензилиденовой связи в остатках реагента, ковалентно связанных с белками, и анализировали двумерным гель-электрофорезом. На рис. 1 приведены диаграммы распределения радиоактивной метки между рибосомными белками, модифицированными реакционноспособным аналогом матрицы в составе комплексов (I)–(IV). Видно, что наборы белков, модифицируемых в составе этих комплексов, существенно различаются.

Как было показано в работе [13], фактор IF-3 для связывания fMet-tRNK<sub>f</sub><sup>Met</sup> в комплекс инициации с синтетической матрицей не обязателен. Если 70S комплекс инициации получать из предварительно образованного 30S комплекса инициации, то фактор IF-1, по-видимому, также не обязателен [14]. В связи с этим можно было ожидать, что состояние (I) будет идентично состоянию (III) (см. табл. 1). Однако из рис. 1 видно, что окружение матрицы в этих комплексах существенно отличается. Эти различия могут быть объяснены конформационными изменениями в 30S субчастицах, происходящими под действием IF-3 [15–17].

Изменение контактов мРНК с 30S субчастицей, индуцируемое фактором IF-3, было обнаружено также при исследовании прямых УФ-шивок MS2 РНК с 30S субчастицей в составе комплекса MS2 РНК·30S [18]. Как показано в нашей работе, окружение матрицы в комплексе (II), полученном при цеэнзиматическом связывании fMet-tRNK<sub>f</sub><sup>Met</sup>, в еще большей степени отличается от окружения ее в комплексах инициации (I) и (III). Мы считаем, что эти различия могут быть также вызваны конформационными изменениями рибосом, индуцированными факторами инициации. Разли-

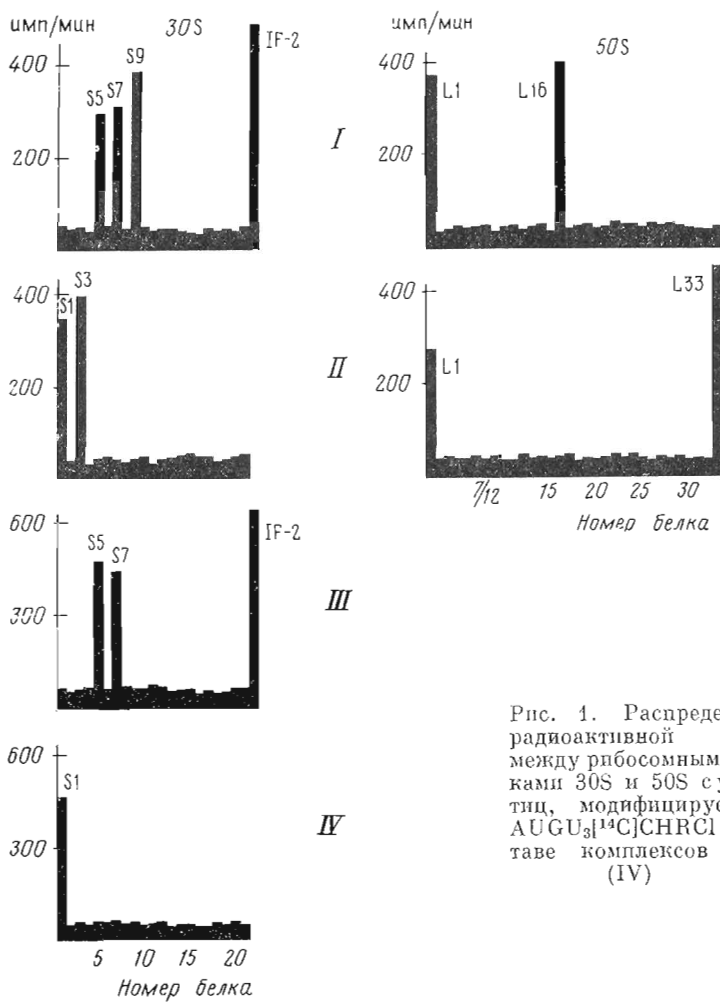


Рис. 1. Распределение радиоактивной метки между рибосомными белками 30S и 50S с участицами, модифицируемыми  $\text{AUGU}_3[^{14}\text{C}] \text{CHRCI}$  в составе комплексов (I)–(IV)

чия в окружении матрицы на рибосоме ранее были обнаружены Понгсом с соавт. [19] при исследовании аффинной модификации рибосом реакционноспособными аналогами инициирующего кодона AUG в составе комплексов, аналогичных комплексам (I) и (II).

В составе комплекса (IV) модификации подвергался в основном белок S1. Модификация этого белка наблюдалась также в составе комплекса (II), полученного неэнзиматически, в то время как в составе комплексов (I) (III), полученных с помощью факторов инициации, сколько-нибудь заметная модификация белка S1 не обнаружена. Белок S1 не модифицировался также с помощью  $\text{AUGU}_6 \text{CHRCI}$  в комплексе инициации 70S рибосомы· $\cdot \text{AUGU}_6[^{14}\text{C}] \text{CHRCI} \cdot \text{fMet-tPRH}_f^{\text{Met}}$  (комплекс (Ia)) [5], полученным в присутствии всех факторов инициации (табл. 3), а также в претранслокационном комплексе рибосома· $\text{AUGU}_6[^{14}\text{C}] \text{CHRCI} \cdot \text{tPRH}_f^{\text{Met}}$  (в Р-участке)· $\cdot \text{fMetPhe-tPRH}^{\text{Phe}}$  (в А-участке) (комплекс (V)), полученном при добавлении к комплексу (Ia) тройного комплекса Phe-tPRH<sup>Phe</sup>·EF-Tu·GTP [20] (табл. 3). Однако, с другой стороны, белок S1 модифицировался в значительной степени в аналогичном претранслокационном комплексе, при образовании которого (на первой стадии) не использовались факторы инициации (комплекс (Va)) [21] (табл. 3). Отсутствие модификации белка S1 реагентами  $\text{AUGU}_n \text{CHRCI}$  (где  $n = 3$  или 6) в комплексах, полученных с помощью факторов инициации (комpleксы (I), (III), (Ia), (V)), и модификация этого белка в комплексах, полученных в отсутствие факторов инициации (комплексы (II), (IV), (Va)), позволяют высказать следующее предположение. Вероятно, белок S1 при функционировании в процессе ини-

Таблица 3

Рибосомные белки, модифицируемые AUGU<sub>n</sub>CHRCI (где  $n = 3$  и 6) в составе различных комплексов

Комплекс	Модифицируемые белки	Ссылка	Комплекс	Модифицируемые белки	Ссылка
(I)	S5, S7, S9, L4, L16		(Ia)	S4, S12, S13, S14, S15, S18, S19, S20/L26	[6]
(II)	S1, S3, L1, L33		(V)	S13, L10	[20]
(III)	S5, S7		(Va)	S1, S5, S11, L1	[21]
(IV)	S1		(VI)	S7	[21]

циации трансляции (этот белок участвует во взаимодействии 30S субчастиц с факторами инициации и матрицей [22—24]) претерпевает конформационные изменения, в результате чего реагирующая группа аналога матрицы оказывается в области расположения нереакционноспособных боковых радикалов аминокислот белка S1.

Подобные данные ранее были получены в работе Понгса с соавт. [19] при использовании в качестве реакционноспособного аналога матрицы производного тетрануклеотида AUGU, несущего бромоацетильную группу на 3'-конце молекулы (AUGU\*). Как и в данной работе, белок S1 модифицировался в комплексах 70S·AUGU\* и 70S·AUGU\*·fMet-tRN $\bar{C}$ , полученных неэнзиматически, и не модифицировался при энзиматическом связывании fMet-tRN $\bar{C}$  с 70S рибосомой.

Интересно, что в состояниях (I) и (III), где присутствовали факторы инициации, модифицировался фактор IF-2. Модификация IF-2 в 70S комплексе инициации исключена, так как при связывании 50S субчастицы с 30S комплексом инициации фактор IF-2 диссоциирует в раствор [25, 26]. Следовательно, можно предположить, что либо IF-2 модифицируется в составе 30S инициаторного комплекса (в том случае, если не все 50S субчастицы активны в ассоциации с 30S инициаторным комплексом), либо IF-2, являясь нуклеотидсвязывающим белком, связывается с AUGU<sub>3</sub>[<sup>14</sup>C]CHRCI в растворе и подвергается модификации в двойном комплексе IF-2·AUGU<sub>3</sub>[<sup>14</sup>C]CHRCI (при условии, что этот комплекс не диссоциирует во время выделения соответствующих комплексов инициации во время гель-фильтрации). Специально этот вопрос в данной работе не исследовался.

### 5. Селективность аффинной модификации рибосом в участке декодирования

При сравнении данных по аффинной модификации рибосом в составе комплексов инициации (I) и (III) (рис. 1) и изученного ранее комплекса (Ia) [6] (табл. 3) (в составе этого комплекса модификации подвергались белки S4, S12, S13, S14, S15, S18, S19, S20/L26) видно, что при переходе от AUGU<sub>6</sub>CHRCI (комплекс (Ia)) к AUGU<sub>3</sub>CHRCI (комpleксы (I) и (III)) набор модифицируемых белков резко сокращается. Следовательно, селективность модификации в комплексе инициации повышается при укорочении свободного, не закрепленного кодон-антикодоновыми взаимодействиями олигонуклеотидного фрагмента аналога мРНК на один триплет.

Результаты модификации рибосом в комплексах (I)—(III) интересно сравнить с данными по модификации рибосом в составе посттранслокационного комплекса рибосома·AUGU<sub>6</sub>[<sup>14</sup>C]CHRCI·fMetPhe-tRN $\bar{C}$ <sup>Phe</sup> (в Р-участке) (комплекс (VI)) [21] (табл. 3), так как комплексы (I)—(III) и (VI) имеют вакантный A-сайт и одинаковый размер свободной части реагента (фрагмент UUUCHRCI), не закрепленной на рибосоме кодон-антикодоновым взаимодействием. В комплексе (VI) в отличие от комплексов (I)—(III) наблюдалось высокоселективное алкилирование — примерно 80% реагента (от общего количества реагента, пошедшего на модификацию рибосом) коvalентно присоединялось к белку S7 [21], в то время как в комплексах (I)—(III) модификации подвергается несколько белков (рис. 1). Таким об-

разом, несмотря на, казалось бы, идентичное расположение реакционно-способной группы относительно рибосомы, результаты аффинной модификации рибосом в комплексах (VI) и (I)–(III) резко различаются. Следовательно, можно заключить, что посттранслокационное состояние рибосомы (комплекс (V<sub>I</sub>)) не идентично состоянию рибосом в комплексе инициации независимо от способа получения последнего (комpleксы (I)–(III)).

Ранее нами было показано, что селективность аффинной модификации значительно повышается при дополнительном закреплении реакционноспособного аналога матрицы кодон-антисилюновым взаимодействием с аминоацил-tРНК, локализованной в А-участке рибосом [4, 20, 27]. Однако данные по аффинной модификации рибосом в комплексах (I)–(III) и (VI) свидетельствуют о том, что селективность аффинной модификации в большей мере определяется функциональным состоянием рибосом, чем наличием кодон-антисилюнового взаимодействия в А-участке.

### 6. EF-Tu-зависимое связывание Phe-tРНК<sup>Phe</sup> в А-участке комплекса (III)

Комплекс (VII) рибосома·AUGU<sub>3</sub>[<sup>14</sup>C]CHRCI·tРНК<sub>f</sub><sup>Met</sup>(Р-участок)·fMetPhe-tРНК<sup>Phe</sup>(А-участок) получить не удалось, вероятно, вследствие того что присутствие бензилиденового фрагмента на 3'-конце олигонуклеотида изменяет конформацию связанного с ним нуклеозидного остатка и нарушает его стэкинг-взаимодействие со следующим нуклеозидным остатком [28].

Ранее при исследовании матричных свойств AUGU<sub>6</sub>CHROH (окси-производного AUGU<sub>6</sub>CHRCI) было показано, что синтез трипептида, направляемый этим аналогом, происходит с таким же выходом, как и в случае AUGU<sub>6</sub> [5]. На этом основании было высказано предположение, что либо динуклеотидное кодон-антисилюновое взаимодействие является достаточным для EF-Tu-зависимого связывания аминоацил-tРНК с рибосомой в А-сайте, либо при взаимодействии с рибосомой происходит исправление конформации 3'-концевого нуклеозидного остатка AUGU<sub>6</sub>CHRCI, связанного с бензилиденовым фрагментом. В экспериментах с AUGU<sub>3</sub>CHRCI оказалось, что при степени связывания f[<sup>35</sup>S]Met-tРНК<sub>f</sub><sup>Met</sup> с рибосомой в комплексе (III), равной 0,4, EF-Tu-зависимое связывание [<sup>3</sup>H]Phe-tРНК<sup>Phe</sup> в А-участок практически не наблюдалось. В то же время, как показал хроматографический анализ продукта транспептидации в комплексе (V<sub>I</sub>), при добавлении EF-Tu·GTP·Phe-tРНК<sup>Phe</sup> к комплексу (III) происходило образование дипептида f[<sup>35</sup>S]Met[<sup>3</sup>H]Phe. Уровень синтеза составлял 0,1 моль дипептида/моль рибосом при 25° С за 12 мин, т. е. количество образовавшегося дипептида по крайней мере на порядок превосходило степень связывания [<sup>3</sup>H]Phe-tРНК<sup>Phe</sup> с рибосомами.

Ранее в работе Люрмана с соавт. [29] было исследовано EF-Tu-зависимое связывание Phe-tРНК<sup>Phe</sup> с комплексом рибосома·AUGUU·fMet-tРНК<sub>f</sub><sup>Met</sup>. Было показано, что кодон-антисилюнового взаимодействия по двум основаниям недостаточно для удержания Phe-tРНК<sup>Phe</sup> в А-участке (она диссоциирует из комплекса с рибосомой) и только очень малая доля Phe-tРНК<sup>Phe</sup> за время нахождения в А-участке успевает принять участие в реакции транспептидации. Образовавшаяся fMetPhe-tРНК<sup>Phe</sup> также диссоциирует из комплекса, так как не может удержаться в А-участке за счет динуклеотидного кодон-антисилюнового взаимодействия. Phe-tРНК<sup>Phe</sup>, диссоциировавшая из рибосомы, может связываться в А-участке многократно, т. е. происходит так называемый «recycling» Phe-tРНК<sup>Phe</sup> [29]. Поскольку уровень синтеза дипептида, как доказано в работе [29], прямо пропорционально зависит от времени, в итоге при достаточно длительной инкубации «recycling» Phe-tРНК<sup>Phe</sup> может привести к количественному синтезу дипептида. По-видимому, в случае AUGU<sub>3</sub>CHRCI и ранее в случае AUGU<sub>6</sub>CHROH [5] наблюдалась аналогичная ситуация, что объясняет наличие продуктов транспептидации при отсутствии надежно регистрируемого EF-Tu-зависимого связывания Phe-tРНК<sup>Phe</sup> в А-участке рибосом.

## 7. Локализация участка декодирования на модели 70S рибосомы

В табл. 3 суммированы все данные по аффинной модификации рибосом AUGU<sub>n</sub>CHRCI ( $n = 3$  и 6). Белки S7 и S9 ранее были отнесены к 3'-области участка декодирования на основании данных, полученных с помощью алкилирующих производных олигоуридилатов с аналогичной реакционноспособной группой на 3'-конце [3]. Белки S3 и S9 наиболее часто модифицировались реакционноспособными производными олигоуридилатов с модифицирующей группой на 5'-конце и на этом основании были отнесены к 5'-области участка декодирования [4, 27]. Следует отметить, что к этой же области был отнесен белок S4 [30]. Белки S3 и S5 были найдены Таубиным и Элсоном при использовании фотоактивируемых аналогов гекса-, гепта- и октааденилатов с реакционноспособной группой на 3' -конце [31]. Белок S1, как упоминалось выше, был обнаружен Понгсом с соавт. [19] среди модифицируемых как 3', так и 5'-реакционноспособными производными инициирующего кодона AUG. Тот факт, что некоторые белки, в частности S1, S3 и S9, модифицируются аналогами матрицы с реакционноспособной группой как на 3', так и на 5'-конце, не удивителен, поскольку минимальное расстояние между 3'- и 5'-областями декодирующего участка порядка 12–24 Å, а диаметр одного белка (если представить его в виде шара) составляет в среднем 30 Å [32].

Однако спектр рибосомных белков, отнесенных к 3'-области декодирующего участка рибосомы по результатам аффинной модификации рибосом AUGU<sub>n</sub>CHRCI (где  $n = 3$  и 6), довольно широк, и трудно представить, чтобы все эти белки одновременно участвовали в формировании декодирующего участка рибосомы. По-видимому, в различных функциональных состояниях рибосом вследствие конформационных изменений, потенциально возможных при взаимодействии рибосомы с факторами трансляции, расщеплении GTP, транспептидации и транслокации, в формировании 3'-области декодирующего участка рибосом могут принимать участие разные белки. Однако не все белки, находящиеся в области декодирующего участка, способны модифицироваться AUGU<sub>n</sub>[<sup>14</sup>C]CHRCI, поскольку этилениммониевый катион (AUGU<sub>n</sub>[<sup>14</sup>C]CHR<sup>+</sup>) вступает в реакцию только с нуклеофильными центрами. Иными словами, белок, находящийся в контакте с реагирующей группой, не будет модифицироваться, если эту группу окружают лишь нереакционноспособные боковые радикалы этого белка. В то же время случайное сближение реагента с тем или иным белком в результате внутренних движений в рибосоме может привести к очень эффективной реакции, т. е. аффинная модификация в отдельных случаях может выявить маловероятный, функционально незначимый контакт. Изменение условий модификации скорее всего исключит возникновение такого контакта. Поэтому оптимальным, на наш взгляд, является изучение аффинной модификации рибосом аналогами мРНК в нескольких функциональных состояниях или в одном и том же функциональном состоянии, но полученным различными путями. Если выбрать только те белки, которые модифицируются не менее двух раз из восьми исследованных состояний (табл. 3), то вырисовывается группа белков, характерная для исследуемого типа аффинной модификации: S1, S5, S7, S13, L1 и L33.

На модели 30S субчастицы, предложенной на основании результатов электронной микроскопии комплексов субчастицы с антителами к определенным рибосомным белкам [33] (рис. 2), белки S1, S5, S7 и S13 образуют довольно компактную, но протяженную группу на поверхности 30S субчастицы: белки S1 и S5 находятся в области ложбины, белок S7 расположен в нижней части головки вблизи платформы и белок S13 — в верхней части головки. 5'-Область участка декодирования (белки S3, S4, S9 [4]) расположена ближе к стороне 30S субчастицы, контактирующей с 50S субчастицей. Однако следует отметить, что эта модель является статической и не учитывает возможных изменений в структуре рибосом при взаимодействии с мРНК, тРНК, факторами элонгации и т. д.

При рассмотрении модели 70S рибосомы [33], образующейся при ассоциации 30S и 50S рибосомных субчастиц, можно видеть, что белок L1 на-

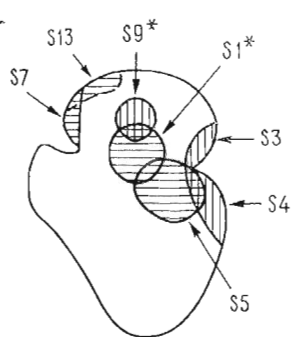


Рис. 2

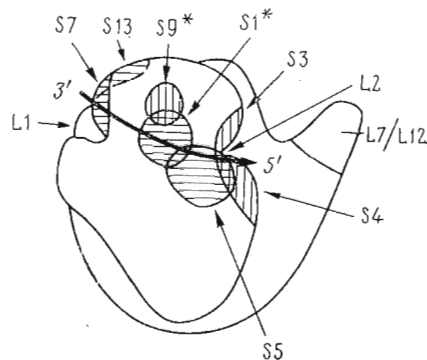


Рис. 3

Рис. 2. Схема расположения участка декодирования на модели 30S субчастицы [33]. Вертикальная штриховка — белки, отнесенные к 5'-области; горизонтальная — белки, отнесенные к 3'-области мРНК-связывающего центра. Белки S1 и S9 на этой модели локализованы согласно данным Мура [32]

Рис. 3. Схема расположения участка декодирования на модели 70S рибосомы [33]. Вертикальная штриховка — белки, отнесенные к 5'-области; горизонтальная — белки, отнесенные к 3'-области мРНК-связывающего центра. Белки S1 и S9 локализованы на этой модели согласно данным Мура [32]. Стрелкой обозначено вероятное направление движения матрицы в процессе трансляции

ходится вблизи белка S7 (рис 3). Локализация белка L33 на модели 50S субчастицы [33] неизвестна. Белок L2, примыкающий к 5'-области участка декодирования [4,30], расположен в области контакта 30S и 50S субчастиц [34]. Если учесть, что производные олигоуридилатов с алкилирующей группой на 5'-конце модифицировали в трех случаях из четырех белок L7/L12 [2], то можно предположить, что матрица скользит по 70S рибосоме от L1 ребра по наружной стороне 30S субчастицы в районе бороздки, отделяющей головку от тела, в направлении L7/L12 стержня с выходом на сторону 30S субчастицы, контактирующую с 50S субчастицей. Указания на то, что мРНК скользит от стороны 30S субчастицы, примыкающей к белку L1, к противоположной стороне, примыкающей к белку L7/L12, ранее были рассмотрены в работе [35].

Авторы выражают благодарность В. И. Махно (ЛИЯФ АН СССР, Гатчина) за любезно предоставленные 30S и 50S субчастицы, И. Э. Циеленсу (ИОС АН ЛатвССР, Рига) за помощь, оказанную при выделении факторов инициации, В. В. Анциферовой и Е. А. Сычевой за помощь в синтезе AUGU<sub>3</sub>.

### Экспериментальная часть

В работе использовали tРНК<sub>f</sub><sup>Met</sup> *E. coli* MRE-600 (1200 пмоль/ОЕ<sub>260</sub>) и tРНК<sub>f</sub><sup>Phe</sup> *E. coli* MRE-600 (1500 пмоль/ОЕ<sub>260</sub>) фирмы Boehringer Mannheim (ФРГ), лейковорин SF (кальциевая соль Cifrovorum Factor; Serva, ФРГ), [<sup>3</sup>H]феницилапин (1,2 Ки/ммоль; «Изотопы»), L-[<sup>35</sup>S]-метионин (500 мКи/ммоль) отечественного производства, факторы инициации, выделенные как описано в работе [5], факторы элонгации EF-Tu-Ts производства НПО «Биолар» (г. Олайне), poly(U) (Reanal, ВНР). fMet-tРНК<sub>f</sub><sup>Met</sup> (1200 пмоль/ОЕ<sub>260</sub>) и Phe-tРНК<sub>f</sub><sup>Phe</sup> (1500 пмоль/ОЕ<sub>260</sub>) получали как описано ранее [5]. 30S и 50S субчастицы были любезно предоставлены В. И. Махно (ЛИЯФ АН СССР). Активность 70S рибосом, полученных реассоциацией 30S и 50S субчастиц, в poly(U)-зависимом связывании Phe-tРНК<sub>f</sub><sup>Phe</sup> и в синтезе Phe-Phe составляла 100%.

Для препаративного выделения олигонуклеотидов использовали силикагель марки Kieselgel 60 (Merck, ФРГ), для ТСХ — пластинки DC-Alufolien Kieselgel 60F<sub>254</sub> и системы растворителей: метанол — хлороформ, 1 : 9; ацетонитрил — вода, 4 : 1.

Тририбоуридилат (*pU*)<sub>3</sub> получали гидролизом poly(U) эндонуклеазой из яда кобры как описано в работе [36].

Эндонуклеазу из яда кобры *Naja naja oxiana* (КФ 3.1.27) выделяли по методу [37].

РНК-лигазу (КФ 6.5.1.3) выделяли из биомассы *E. coli* B, инфицированной бактериофагом T4ап82, по методу, описанному ранее [8] (концентрация фермента 43,4 мКМ, концентрация белка 8,4 мг/мл).

Аденозилуридилгуанозин. Смесь 3'-фосфодиэфирного компонента (1,1 экв.) и 5'-ОН-компоненты (1 экв.), высушенному упариванием с абсолютным пиридином, рас-

творяли в абсолютном пиридине, к раствору добавляли свежеприготовленный сухой мезигиленсульфотетразолид (2,2 экв.) и выдерживали 20—45 мин при 20° С (контроль ТСХ). Реакционную смесь разлагали добавлением NaHCO<sub>3</sub> до 5%, экстрагировали хлороформом и упаривали. Защищенные олигонуклеотиды выделяли хроматографией на силанизированном силикагеле [38], используя градиент концентрации диоксана в воде и последующую экстракцию хлороформом. В результате были получены практически гомогенные защищенные олигонуклеотиды (I) и (II) с выходами 67 и 74% соответственно (см. схему синтеза).

Удаление защитных групп, ионообменную хроматографию и анализ проводили согласно [5]. Выход A(3'-5')U(3'-5')G = 50% (в расчете на (II)).

**Гексануклеозидпентаfosfat A UGU<sub>3</sub>.** Реакционная смесь (объем 2 мл) содержала 1 мМ AUG, 1 мМ (pU)<sub>3</sub>, 2 мМ ATP, 50 мМ трис-HCl (pH 8,7 при 30° С), 10 мМ MgCl<sub>2</sub>, 10 мМ дитиотреонит, 0,6 мкМ РНК-лигазу, 0,2 мг/мл альбумина, 15,5 об. % глицерина. Время реакции 12 ч, температура 30° С. Выделение и анализ проводили аналогично описанному в работе [9]. Выход AUGU<sub>3</sub> 20%.

**2',3'-O-[4-(N-2-Хлорэтил)-N-метиламино]бензилиденовое производное A UGU<sub>3</sub>(A UGU<sub>3</sub>[<sup>14</sup>C]CHRCI)** с уд. акт. 25 мКи/ммоль получали согласно [5].

**Комплекс инициации (I)** получали, инкубируя смесь 5 нмоль 30S субчастиц, 5 нмоль 50S субчастиц, 10 нмоль fMet-tRNK<sub>f</sub><sup>Met</sup>, 25 нмоль AUGU<sub>3</sub>[<sup>14</sup>C]CHRCI, 0,43 мг IF-1, 0,56 мг IF-2, 0,11 мг IF-3 и 1,74 мкмоль GTP в 5,4 мл буфера А (50 мМ трис-HCl (pH 7,5), 100 мМ NH<sub>4</sub>Cl, 5 мМ MgCl<sub>2</sub>) в течение 20 мин при 25° С.

**Комплекс (II)** получали в буфере Б (50 мМ трис-HCl(pH 7,5), 100 мМ NH<sub>4</sub>Cl, 10 мМ MgCl<sub>2</sub>).

**Комплекс инициации (III)** получали, инкубируя смесь предварительно образованного 30S комплекса инициации и 50S субчастиц в течение 20 мин при 20° С. 30S комплекс инициации получали инкубированием смеси 6 нмоль 30S субчастиц, 12 нмоль fMet-tRNK<sub>f</sub><sup>Met</sup>, 48 пмоль AUGU<sub>3</sub>[<sup>14</sup>C]CHRCI, 1,3 мг IF-2, 0,42 мкмоль GTP в 2,1 мл буфера А при 20° С в течение 10 мин. Перед добавлением к 30S комплексу инициации 6 нмоль 50S субчастиц в 3,36 мл буфера А инкубировали при 37° С в течение 20 мин.

**Комплекс (IV)** получали в буфере Б в отсутствие fMet-tRNK<sub>f</sub><sup>Met</sup> и IF-2.

**Отделение комплексов (I)—(III)** от избытка несвязавшегося реагента проводили гель-фильтрацией на колонке (1,3 × 45 см) с сефадексом G-50, уравновешенным буфером А (для комплексов (I) и (III)) или буфером Б (для комплекса (II)). Элюцию вели соответственно этими же буферами со скоростью 36 мл/ч. Фракцию рибосом собирали по поглощению при 260 нм.

**Степень связывания** f[<sup>35</sup>S]Met-tRNK<sub>f</sub><sup>Met</sup> в комплексы (I)—(III) определяли фильтрацией через нитроцеллюлозные фильтры по [39]. В случае комплекса (III) удельная активность [<sup>35</sup>S]Met в 20 раз превышала удельную активность AUGU<sub>3</sub>[<sup>14</sup>C]CHRCI. Для образования комплексов (I) и (II) использовали немеченный олигонуклеотид.

**Комплекс (VII)** получали, инкубируя смесь предварительно образованного комплекса (IIIa) и тройного комплекса EF-Tu-[<sup>3</sup>H]Phe-tRNK<sup>Phe</sup> · GTP в течение 12 мин при 25° С.

Для получения комплекса (IIIa) 0,23 нмоль 30S субчастиц, 0,46 нмоль f[<sup>35</sup>S]Met-tRNK<sub>f</sub><sup>Met</sup>, 2,3 нмоль AUGU<sub>3</sub>[<sup>14</sup>C]CHRCI, 125 мкг IF-2 и 16,8 нмоль GTP инкубировали в 67 мкл буфера А при 20° С в течение 10 мин, после чего добавляли 50S субчастицы (0,23 нмоль в 16 мкл буфера А), предварительно прогретые при 37° С в течение 20 мин. Смесь инкубировали 20 мин при 20° С. Полученный комплекс (IIIa) отделяли от избытка несвязавшегося реагента гель-фильтрацией на колонке с сефадексом G-50. Степень связывания fMet-tRNK<sub>f</sub><sup>Met</sup> в комплексе (IIIa) определяли фильтрацией части этого комплекса через нитроцеллюлозные фильтры по [39]; фильтры затем растворяли в этилацетате и просчитывали в диоксановом сцинтилляторе по программе счета <sup>3</sup>H-<sup>14</sup>C-изотопа. К остальной части комплекса (IIIa) добавляли 2 М MgCl<sub>2</sub> до конечной концентрации 10 мМ.

**Тройной комплекс** получали инкубированием 0,28 нмоль [<sup>3</sup>H]Phe-tRNK<sup>Phe</sup>, 0,56 нмоль EF-Tu · Ts и 100 нмоль GTP в 70 мкл буфера Б при 0° С в течение 10 мин.

**Степень связывания** [<sup>3</sup>H]Phe-tRNK<sup>Phe</sup> в комплексе (VII) определяли фильтрацией части реакционной смеси через нитроцеллюлозные фильтры по [39], которые затем растворяли в этилацетате и просчитывали как описано выше.

**Анализ продукта транспептидации** проводили бумажной хроматографией согласно [5].

**Анализ степени алкилирования рибосомных субчастиц**, анализ степени алкилирования рибосомных белков и РНК, выделенных из субчастиц, выделение белков из модифицированных 70S рибосом и двумерный электрофорез рибосомных белков в поликариламидном геле проводили так, как описано в работе [1].

## ЛИТЕРАТУРА

1. Gimautdinova O. I., Karpova G. G., Knorre D. G., Kobetz N. D. // Nucl. Acids Res. 1981. V. 9. № 14. P. 3465—3481.
2. Гимаутдинова О. И., Карпова Г. Г., Козырева Н. А. // Молекулярн. биология. 1982. Т. 16. Вып. 4. С. 752—761.

3. Кнорре Д. Г., Карпова Г. Г., Кобец Н. Д. // Итоги науки и техники. Общи<sup>е</sup> проблемы физико-химической биологии. 1985. Т. 4. С. 87—143.
4. Гимаутдинова О. И., Карпова Г. Г. // Молекулярн. биология. 1987. Т. 21. Вып. 4. С. 942—948.
5. Бабкина Г. Т., Карпова Г. Г., Берзинь В. М., Грен Э. Я., Циеленс И. Э., Веньяминова А. Г., Репкова М. Н., Ямковой В. И. // Биоорган. химия. 1983. Т. 9. № 11. С. 1535—1543.
6. Бабкина Г. Т., Карпова Г. Г., Матасова Н. Б., Берзинь В. М., Грен Э. Я., Циеленс И. Э. // Молекулярн. биология. 1985. Т. 19. Вып. 4. С. 1079—1085.
7. Sung W. L., Narang S. A. // Can. J. Chem. 1982. V. 60. № 2. P. 111—120.
8. Ямковой В. И., Веньяминова А. Г., Василенко С. К., Нечаев Ю. С., Бакланов М. М., Чистяков П. Г., Онищенко А. М. Способ получения РНК-лигазы: А.с. 910762 СССР // Б.И. 1982. № 9.
9. Веньяминова А. Г., Франк Л. А., Ямковой В. И. // Биоорган. химия. 1981. Т. 7. № 1. С. 98—102.
10. Будкер В. Г., Гимаутдинова О. И., Карпова Г. Г., Кобец Н. Д., Теплова Н. М. // Молекуляри. биология. 1976. Т. 10. Вып. 2. С. 340—355.
11. Бенимечская Л. З., Гринева Н. И., Карпова Г. Г., Пичко Н. П. // Биоорган. химия. 1977. Т. 3. № 7. С. 903—913.
12. Власов В. В., Гринева Н. И., Кнорре Д. Г. // Изв. СО АН СССР. Сер. хим. наук. 1969. № 2. Вып. 1. С. 104—109.
13. Revel M., Lelong J. C., Brawerman G., Cros F. // Nature. 1968. V. 219. № 5158. P. 1016—1021.
14. Hershey J. W. B., Yanov Y., Johnstion K., Fakunding J. L. // Arch. Biochem. and Biophys. 1977. V. 182. P. 626—638.
15. Paradies H. H., Franz A., Pon C. L., Gualerzi C. // Biochem. and Biophys. Res. Commun. 1974. V. 59. № 2. P. 600—607.
16. Michalski C. J., Sell B. H., Wahba A. J. // FEBS Lett. 1976. V. 71. № 2. P. 347—350.
17. Броуде Н. Е., Кусова К. С., Медведева Н. И., Будовский Э. И. // Биоорган. химия. 1978. Т. 4. № 12. С. 1687—1689.
18. Broude N. E., Kussova K. S., Medvedeva N. I., Budowsky E. I. // Eur. J. Biochem. 1983. V. 132. № 1. P. 139—145.
19. Pongs O., Petersen H. U., Grunberg-Manago M., Lanka E., Bald R., Stoffler G. // J. Mol. Biol. 1979. V. 134. № 2. P. 329—345.
20. Babkina G. T., Veniaminova A. G., Vladimirov S. N., Karpova G. G., Yamkovoy V. I., Berzin V. A., Gren E. J., Cielens I. E. // FEBS Lett. 1986. V. 202. № 2. P. 340—344.
21. Бабкина Г. Т., Владимиров С. Н., Дрыга С. А., Зенкова М. А., Карпова Г. Г. // Молекуляри. биология. В печати.
22. Sobura J. E., Chowdhury M. R., Hawley D. A., Wahba A. J. // Nucl. Acids Res. 1977. V. 4. № 1. P. 17—29.
23. Kolb A., Hermoso J. M., Thomas J. O., Szer W. // Proc. Nat. Acad. Sci. USA. 1977. V. 74. № 6. P. 2379—2383.
24. Tai P.-C. // Biochem. and Biophys. Res. Commun. 1975. V. 67. № 4. P. 1466—1472.
25. Benne R., Voorma H. O. // FEBS Lett. 1972. V. 20. № 3. P. 347—351.
26. Dubnoff J. S., Lockwood A. H., Maitra U. J. // J. Biol. Chém. 1972. V. 247. № 9. P. 2884—2894.
27. Gimautdinova O. I., Karpova G. G., Knorre D. G., Frolova S. B. // FEBS Lett. 1985. V. 185. № 2. P. 221—225.
28. Гринева Н. И., Зарытова В. Ф., Кабашева Г. Н., Кнорре Д. Г., Козоровицкий А. Я. // Докл. АН СССР. 1974. Т. 198. № 3. С. 582—584.
29. Hornig H., Woolley P., Luhrmann R. // FEBS Lett. 1983. V. 156. № 2. P. 311—315.
30. Гимаутдинова О. И., Карпова Г. Г., Комарова Н. И., Фролова С. Б. // Биоорган. химия. 1985. Т. 11. № 4. С. 499—507.
31. Towbin H., Elson D. // Nucl. Acids. Res. 1978. V. 5. № 9. P. 3389—3407.
32. Moore P. B., Capel M., Kjeldgaard M., Engelman D. M. // Structure, function and genetics of ribosomes/Eds Hardesty B., Kramer G. N.Y.: Springer-Verlag, 1986. P. 87—100.
33. Stoffler G., Stoffler-Meilicke M. // Structure, function and genetics of ribosomes/ Eds Hardesty B., Kramer C. N. Y.: Springer-Verlag, 1986. P. 28—46.
34. Traut R. R., Tewari D. S., Sommer A., Gavino G. R., Olson H. M., Glitz D. G. // Structure, function and genetics of ribosomes/Eds Hardesty B., Kramer G. N. Y.: Springer-Verlag, 1986. P. 286—308.
35. Спирин А. С. // Молекулярная биология. Структура рибосомы и биосинтез белка. М.: Высш. шк., 1986. С. 139—141.
36. Василенко С. К., Сербо Н. А., Веньяминова А. Г., Бодырева Л. Г., Будкер В. Г., Кобец Н. Д. // Биохимия. 1976. Т. 41. Вып. 2. С. 260—263.
37. Василенко С. К., Райт В. К. // Биохимия. 1975. Т. 40. Вып. 3. С. 578—583.
38. Калашников В. В., Самуков В. В., Шубина Т. Н., Ямчиков В. Ф. // Биоорган. химия. 1983. Т. 9. № 5. С. 666—672.
39. Nirenberg M. W., Leder P. // Science. 1964. V. 145. P. 1399—1407.

Поступила в редакцию  
16.III.1987

После доработки  
17.VIII.1987

AFFINITY LABELLING OF THE *ESCHERICHIA COLI* RIBOSOMES  
WITH THE 2',3'-O-[4-(N-2-CHLOROETHYL)-N-METHYLMINO]-  
BENZYLIDENE DERIVATIVE OF AUGU<sub>3</sub> WITHIN 70S INITIATION  
COMPLEXES

VENIAMINOVA A. G., VLADIMIROV S. N., DRYGA S. A., ZENKOVA M. A.,  
KARPOVA G. G., YAMKOVOY V. I.\*

*Institute of Bioorganic Chemistry, Siberian Division,  
Academy of Sciences of the USSR, Novosibirsk;  
\* Novosibirsk State University*

Affinity labelling of the *Escherichia coli* ribosomes with the 2',3'-O-[4-(N-(2-chloroethyl)-N-methylamino)benzylidene derivative of AUGU<sub>3</sub>(AUGU<sub>3</sub>[<sup>14</sup>C]CHRCI) has been studied within 70S initiation complexes ribosome·AUGU<sub>3</sub>[<sup>14</sup>C]CHRCI·fMet-tRNA<sub>f</sub><sup>Met</sup> and binary complex ribosome·AUGU<sub>3</sub>[<sup>14</sup>C]CHRCI. Various ways of the 70S initiation complex formation resulted in differently labelled products. Proteins S5, S7, S9, L1, L16 were thus identified as cross-linked with AUGU<sub>3</sub>[<sup>14</sup>C]CHRCI within an initiation complex obtained in the presence of initiation factors IF-1, IF-2, IF-3, whereas only proteins S5 and S7 were cross-linked within the complex obtained with the sole factor IF-2. Proteins S4, S3, L1 and L33 were labelled within the initiation complex obtained non-enzymatically but only protein S1 within the binary complex. In all complexes formed with use of initiation factors labelling of IF-2 factor was invariably observed.